

플라즈마 방전 시뮬레이션에 의한 CF<sub>3</sub>I-Xe 혼합 가스에서의 물성 특성 연구

심응원\*, 도안뚬안, 전병훈  
동국대학교

A Study on Characteristics of The CF<sub>3</sub>I-Xe Mixtures gases in a Plasma Discharge Simulation

Eung-Won Shim\*, Do Anh Tuan, Byung-Hoon Jeon  
Dongguk University

**Abstract** - Recently, it has been found that trifluoroiodomethane (CF<sub>3</sub>I) gas can replace SF<sub>6</sub> gas as a prospective substitute gas. For quantitative understanding of gas discharge phenomena, we should know electron collision cross sections and electron transport coefficients. Using electron collision cross sections of CF<sub>3</sub>I and Xe, we calculated electron drift velocity, longitudinal coefficient, effective ionization coefficient in CF<sub>3</sub>I-Xe mixtures using a two-term approximation of the Boltzmann equation. We also compared the electron transport coefficients in pure gas and those of 10%, 20%, 50%, and 70% CF<sub>3</sub>I-Xe mixture gases. The present data may be showed appropriate ratios of CF<sub>3</sub>I-Xe mixture gas for replacing the SF<sub>6</sub> gas.

1. 서 론

현재 반도체 제조 공정 및 절연용 아크 소호 매체로 쓰이는 SF<sub>6</sub>분자 가스는 우수한 절연 능력과 안정성을 갖고 있다. 그럼에도 불구하고 온난화지수(GWP, Global Warming Potential)가 23900으로 매우 크고 대기 중에서 분해 되는 시간이 3200년이나 되기 때문에 점차 그 사용에 곤란함을 겪고 있다. 반면에 CF<sub>3</sub>I는 역시 PFC계 가스 이기는 하나 GWP값이 5미만이고 대기중 분해 시간이 0.005년으로 SF<sub>6</sub>가스에 비해 현저히 낮으므로 SF<sub>6</sub>의 대체 물질로써 상대적으로 온난화 지수가 현저히 낮은 CF<sub>3</sub>I가스를 선정한다.

그러나 CF<sub>3</sub>I순수 가스는 0.5MPa에서 끓는점이 25°C로 이 상태에서는 사용이 불가능하여 타 가스와 혼합을 통해 그 끓는 점을 낮춰야 할 필요가 있다. 예를 들어 30%/70%, CF<sub>3</sub>I-CO<sub>2</sub>혼합가스의 경우 0.5MPa에서 끓는 점이 -12°C까지 내려가는 것을 볼 수 있다.[1]

Xe가스는 원소주기율표 상에서 5주기 18족에 속하는 비활성 기체로 단원자 분자로 존재 하며 반응성이 매우 낮고 안정된 상태이며 전기음성 진화도가 높아 CF<sub>3</sub>I가스와의 혼합 물질로 선정하였다.

따라서 본논문은 CF<sub>3</sub>I 가스와 Xe 가스의 전자 충돌 단면적을 이용해 2항 근사 볼츠만 방정식을 이용하여 그 물성적 특성을 연구한다. 또한 전자 충돌 단면적을 기준으로 SF<sub>6</sub>가스와 CF<sub>3</sub>I, CF<sub>3</sub>I-Xe 혼합 가스의 특성 비교를 통해 CF<sub>3</sub>I-Xe 혼합가스의 대체 물질로써 적합한 혼합비를 선정한다.

2. 2항 근사 볼츠만 수치해석 방법

기체 중에서 하전입자군의 수송계수를 측정하는 방법에는 2항근사, 다항근사 볼츠만 방정식과 몬테칼로 시뮬레이션 기법 이렇게 3가지 방법이 있다.

그 중에서 볼츠만 방정식은 열평형 상태에서가 아닌 다입자계 운동의 기술을 이용해 이것을 전자군의 거동 해석에 이용하고 있다. 볼츠만 방정식 해석에서는 전자의 거동을 분포함수라고 하는 거시적 형태로 표시하고, 이 분포함수에서 전자수송계수를 산출한다. 이 방법은 충돌의 확률적인 성질을 기초로 하여 전자군 발달의 통계적 변동은 나타나지 않으며, 통계시간은 비교적 짧다. 그러나 미적분방정식으로 된 볼츠만 방정식은 일반적으로 그 해를 구하는 것이 어렵고, 종래 많이 사용되어 왔다. 전자의 속도분포함수를 Legendre 급수로 전개하여, 그 최초의 2항에 근사하는 2항근사는 전자의 속도분포함수에 비등방성이 강한 경우에는 정확한 전자수송계수를 산출할 수 없는 단점을 가지고 있다.

다음은 본 연구에서 이용된 2항근사 볼츠만 방정식에서 TOF(Time of flight)방법을 이용한 전자수송계수 산출을 보여주고 있다.

TOF에서는 위치와 시간을 함께 지정하기 때문에 샘플 수는 적고 한편으로 에너지 분포를 구할 때 샘플 수는 차츰 적어져 통계적 변동을 다수 포함한 결과로 되기 쉽다. 전자 수를 많이 택하면 전자계산기의 계산시간도 그에 비례하여 증가하므로 이것을 보완하기 위하여 순수한 관

측 법에서의 차이를 지정하는 영역에서 어느 정도의 폭을 갖게 한다. TOF샘플링법으로 방전공간의 전자 이동속도, 확산계수 평균에너지를 구하기 위해서는 시간 t<sub>k</sub>, t<sub>k+1</sub>에서 전자의 샘플 수를 M<sub>k</sub>, M<sub>k+1</sub>로 하고 위치영역을 Z(t<sub>k</sub>)로 할 때 시간 t<sub>k</sub>에서의 전자군 중심의 평균위치 <Z(t<sub>k</sub>)>는 다음과 같이 식 2.1로 나타낸다.

$$\langle Z(t_k) \rangle = \frac{1}{M_k} \sum_{j=1}^{M_k} Z_j(t_k) \tag{2.1}$$

전자군의 중심이동속도 W는 다음과 같다.

$$W = \frac{\langle Z(t_{k+1}) \rangle - \langle Z(t_k) \rangle}{(t_{k+1} - t_k)} \tag{2.2}$$

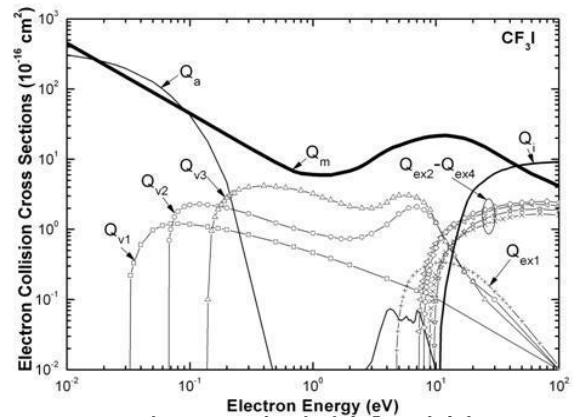
한편 전자의 확산계수는 시간 t<sub>k</sub>일 때 전자의 전체 방향의 중심위치를 Z<sub>m</sub>(t<sub>k</sub>)라 하면, 종방향확산계수 D<sub>L</sub>은 전자의 전체 방향의 위치분산으로 표현하여 아래의 식과 같이 표현하고, 시간에 대한 기울기로 그 값을 구할 수 있다.

$$\frac{1}{2!M_k} \sum_{j=1}^{M_k} Z_j^2(t_k) - Z_m^2(t_k) \tag{2.3}$$

3. 전자 충돌 단면적

전자-원자 충돌의 연구는 1921년의 Ramsauer에 의한 전단면적의 측정에서부터 시작되었다. 이는 희가스원자의 단면적이 낮은 에너지 범위에서 극소치를 가지고 있음을 보여주고 있다. 이 사실은 1922년에 Townsend와 Bailey에 의한 전자군 실험에 의해서도 보여주고 있다.[2]

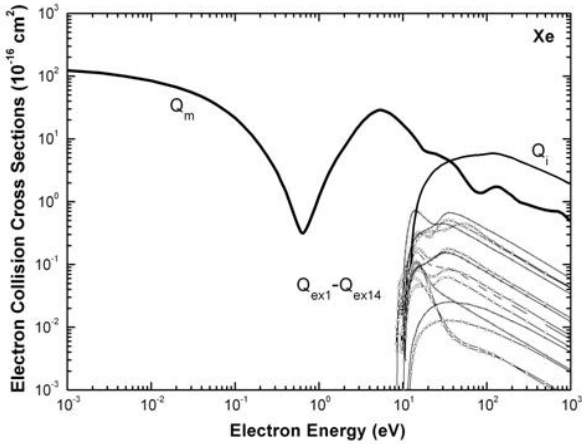
이 Ramsauer-Townsend 효과는 원자, 분자의 구조에 관한 정보를 얻고, 여러 가지 충돌이론에 대한 데이터를 얻으며 레이저, 플라즈마 등에 관한 단면적 데이터에 대한 요구가 늘어난 것이 급속하게 진보하게 된 원인이 되고 있다.



<그림 1> CF<sub>3</sub>I 가스의 전자 충돌 단면적

본 논문에서 사용한 CF<sub>3</sub>I 순수 가스와 CF<sub>3</sub>I-Xe 혼합 가스의 물성적 특성 비교를 위해 CF<sub>3</sub>I와 Xe 각각의 Cross section set를 <그림 1>과 <그림 2>에 나타내었다. CF<sub>3</sub>I 전자충돌단면적은 운동량변환단면적(Q<sub>m</sub>)과 부착단면적(Q<sub>a</sub>), 각각 0.032, 0.067, 0.134eV의 threshold값을 갖는 진동여기단면적(Q<sub>v1</sub>-Q<sub>v3</sub>)을 4.7, 7.2, 7.9, 8.8, 9.6eV의 threshold를 갖는 전자여기단면적(Q<sub>e1</sub>-Q<sub>e5</sub>)과 10.2eV threshold값을 갖는 전리단면적으로 구성되고 있다.[3]

Xe은 단원자 분자로 존재하므로 <그림 2>의 전자 충돌 단면적에서는 운동량 변환 단면적(Q<sub>m</sub>)과 8.315-11.58eV사이의 threshold값을 갖는 전자 여기 단면적(Q<sub>ex1</sub>-Q<sub>ex14</sub>), 12.13eV의 threshold값을 갖는 전리단면적으로 보여지고 있다.[4]



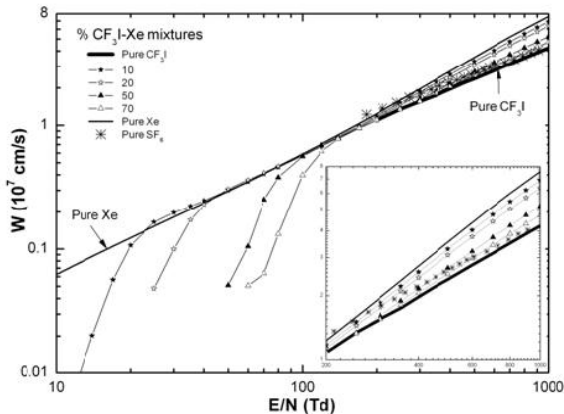
〈그림 2〉 Xe 가스의 전자 충돌 단면적

#### 4 전자수송계수 해석

전자이동속도, 종축확산계수, 실효전리계수를 1torr, 300K의 조건에서 2항근사볼츠만 방정식을 이용한 시뮬레이션 기법으로 계산하였다.

##### 4.1 이동속도

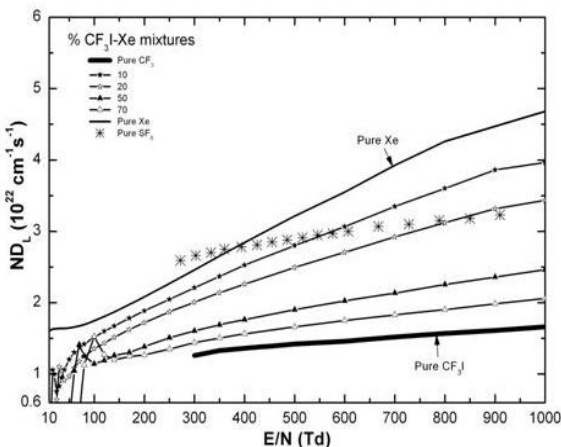
〈그림 3〉은 CF<sub>3</sub>I와 Xe가스 각각의 전자 충돌 단면적을 토대로 볼츠만 2항근사 방정식을 사용하여 0%, 10%, 20%, 50%, 70%의 CF<sub>3</sub>I-Xe 혼합가스 전자 이동 속도를 SF<sub>6</sub>가스와 비교한 그래프이다. SF<sub>6</sub>의 전자수송계수 값은 T. Aschwanden의 논문 측정값을 기준으로 한다.[5] 각각의 전자 이동속도는 대체로 Xe가스의 값과 대체로 동일하나 200Td부근에서부터 미소한 차이를 나타낼 수 있다.



〈그림 3〉 CF<sub>3</sub>I-Xe 혼합 가스의 이동 속도 비교

##### 4.2 종축확산계수

종축확산계수(ND<sub>L</sub>)은 순수CF<sub>3</sub>I가스와 SF<sub>6</sub>가 E/N값의 변화에 ND<sub>L</sub>값의 변화가 미미한 상태로 가장 비슷한 특징을 나타낸다. 반면 CF<sub>3</sub>I-Xe혼합

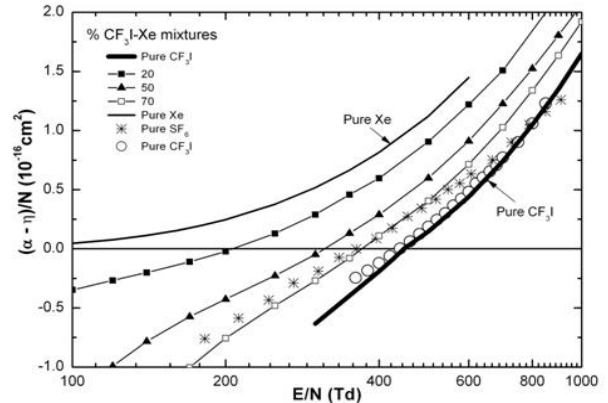


〈그림 4〉 CF<sub>3</sub>I-Xe 혼합 가스의 종축확산계수 비교

가스의 경우 Xe가스의 ND<sub>L</sub>에 의해 상대적으로 E/N값의 상승에 따른 변화가 크다는 것을 알 수 있다.

#### 4.3 실효전리계수 비교

〈그림 5〉는 2항근사 볼츠만 방정식을 이용하여 실효전리계수를 계산한 값이다. 순수 CF<sub>3</sub>I 가스의 절연과피 전압값이 가장 높고 Xe의 혼합비가 커질수록 점차로 절연과피 전압값이 낮아 지는 것을 볼 수 있다. 또한 70%-30% CF<sub>3</sub>I-Xe 혼합비에서 SF<sub>6</sub>가스의 절연과피 전압과 가장 유사한 값을 갖는 것을 확인할 수 있다.



〈그림 5〉 CF<sub>3</sub>I-Xe 혼합 가스의 실효전리 계수 비교

## 5. 결 론

목적에 맞는 플라즈마의 정량적 해석을 위해 2항 근사 볼츠만 수치 해석법을 이용한 컴퓨터 시뮬레이션 계산은 효과적인 수단이 된다. 또한 그러기 위해서는 목적가스의 전자충돌단면적과 전자수송계수의 정확한 이해와 해석이 꼭 필요함을 알 수 있다.

본 논문에서는 CF<sub>3</sub>I-Xe혼합기체가 SF<sub>6</sub>가스의 대체물질로서 적합한지의 여부를 판단하기 위해 연구되었다. CF<sub>3</sub>I-Xe 혼합가스의 물성적 특성을 이해하기 위하여 CF<sub>3</sub>I와 Xe 순수 가스에 대한 전자 충돌 단면적을 활용하였고, 이를 기초로 2항근사 볼츠만 수치해석법을 이용해 시뮬레이션하여 CF<sub>3</sub>I-Xe 혼합기체의 전자 이동속도와 종축확산계수, 실효전리계수를 계산하였다. 또 각각의 전자수송계수에 대해 10%, 20%, 50%, 70%, 100%에서의 특성을 비교하여 나타냄으로써 CF<sub>3</sub>I-Xe 혼합가스가 SF<sub>6</sub> 가스와 어떠한 혼합비에서 유사한 특성을 지니는 바를 판단하였다. 그 계산된 CF<sub>3</sub>I-Xe혼합가스의 물성적 특성은 실효전리계수의 계산결과를 기준으로 절연체로서 CF<sub>3</sub>I-Xe이 70%-30%에서 SF<sub>6</sub>가스와 가장 유사한 특성을 나타냄을 확인하였다.

현재 CF<sub>3</sub>I 가스가 대표적 온난화 가스인 SF<sub>6</sub> 가스의 대체물질로서 우수한 성능을 나타내고 인체에 무해한 점은 확인된 바이나 CF<sub>3</sub>I 순수 가스는 상온에서 활용하기 어려워 혼합상태로 사용이 이루어지며, SF<sub>6</sub> 가스와 비교하여 그 가격이 비싸다. 그렇기 때문에 CF<sub>3</sub>I와 혼합되는 가스에 대한 연구가 더 활발할 것이 요구 되어 지며, 대체되었을 때 발생하는 비용적인 측면의 차이도 고려해야 할 것이다.

## [참 고 문 헌]

- [1]Y.-Y. Duan, M.-S. Zhu and L.-Z.Han, "Experimental vapor pressure data and a vapor pressure equation for trifluoriodomethane(CF<sub>3</sub>I)", Fluid Phase Equilibria, Vol.121, pp. 227-234, (1996) as quoted in H.kasuya, Y.Kawamura, H.Mizoguchi, Y.Nakamura, S.Yanabu and N.Nagasaki, " Interruption Capability and Decomposed Gas Density of CF<sub>3</sub>I as a Substitute for SF<sub>6</sub> Gas", IEEE Transactions on Dielectrics and Electrical Insulation, Vol. 17, No.4, 2010
- [2]B. H. Jeon, J. J. Park and S. C. Ha. "The Study of Electron collision cross sections and electron transport coefficients in gases", J. of KIIEE, pp. 11-14, 2002
- [3]M. Kimura and Y. Nakamura, "Electron swarm parameters in CF<sub>3</sub>I and a set of electron collision cross section for the CF<sub>3</sub>I molecule", J. Phys. D 43, 145202-1, 2010
- [4]T. Hashimoto and Y. Nakamura, Papers of Gas Discharge Technical Committee ED-90-61 (Japan: IEE) (1990) as quoted in M. Suzuki, T. Taniguchi, N. Yoshimura and H. Tagashira, J. Phys. D 25, 50 (1992).
- [5]T. Aschwanden, "Eidgenössische Technische Hochschule Zürich", Ph.D. Thesis, (1985), from Ref. 3.